

УДК 546.82'261'21:548.73

ТЕХНИЧЕСКАЯ ФИЗИКА

В. Г. ЗУБКОВ, И. И. МАТВЕЕНКО, Л. Б. ДУБРОВСКАЯ,  
Г. Д. БОГОМОЛОВ, П. В. ГЕЛЬД

## НЕЙТРОНОГРАФИЧЕСКОЕ ИССЛЕДОВАНИЕ СТРУКТУРЫ ОКСИКАРБИДОВ ТИТАНА

(Представлено академиком С. В. Вонсовским 21 VII 1969)

Изоструктурные моноокись и монокарбид титана (структуре типа  $\text{NaCl}$ ) образуют между собой неограниченные твердые растворы, так называемые оксикиарбиды, характеризуемые значительной дефектностью как металлической, так и неметаллической подрешеток. Вопрос о топографии атомов неметаллов в структуре оксикиарбидов специально никем не рассматривался. Между тем ряд экспериментальных фактов (см., например, <sup>(1)</sup>) говорит о возможном упорядочении атомов углерода и кислорода. Это делало целесообразным постановку детального изучения структуры оксикиарбидов титана и ванадия.

В настоящей публикации приводятся результаты исследования оксикиарбидов титана, данные о структуре оксикиарбидов ванадия будут сообщены особо. В работе выполнены измерения электросопротивления серии образцов  $\text{TiC}_x\text{O}_y (x + y = 1)$  и нейтронографическое исследование оксикиарбида  $\text{TiC}_{0,44}\text{O}_{0,57}$ , по составу близкого к эквиатомному ( $\text{C} : \text{O} = 1 : 1$ ). Методика приготовления равновесных гомогенных образцов оксикиарбидов титана и контроля их состава описаны в работе <sup>(2)</sup>.

Измерение электросопротивления производилось при комнатной температуре на спеченных брикетах ( $2 \times 3 \times 25 \text{ mm}$ ) потенциометрическим методом с использованием прижимных контактов. Поправки на пористость образцов вводились по формуле Оделевского <sup>(3)</sup>. Изотерма электросопротивления (при  $T = 298^\circ\text{K}$ ) представлена на рис. 1. Аналогичные по форме изотермы получены и при других температурах. Установленная концентрационная зависимость электросопротивления, как известно <sup>(4)</sup>, характерна для упорядочивающихся систем и может служить косвенным указанием на атомное упорядочение в рассматриваемой системе.

Непосредственная проверка этого предположения осуществлена методом нейтронографирования оксикиарбида титана  $\text{TiC}_{0,44}\text{O}_{0,57}$ , по составу близкого к эквиатомному ( $\text{TiC}_{0,5}\text{O}_{0,5}$ ).

Нейтронограмма, представленная на рис. 2, была снята при длине волны нейтронов  $\lambda = 1,06 \text{ \AA}$ . В спектре излучения, полученного от свинцового монохроматора, отсутствовал вклад от  $\lambda / 2$ .

Наряду с рефлексами, разрешенными для структуры типа  $\text{NaCl}$ , на

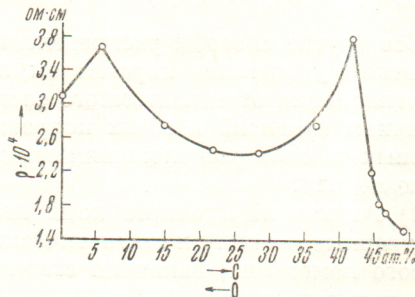


Рис. 1. Изменение электросопротивления в ряду твердых растворов  $\text{TiC}_{1,0} - \text{TiO}_{1,0}$

нейтронограмме присутствуют сверхструктурные максимумы. Расшифровку их удалось произвести в индексах кубической примитивной ячейки с параметром  $a = 4,280 \text{ \AA}$ , о чём свидетельствует хорошее согласие между экспериментальными  $d_{\text{эксп}}$  и рассчитанными  $d_{\text{расч}}$  в предположении  $a =$

$= 4,280 \text{ \AA}$  значениями межплоскостных расстояний (см. табл. 1).

Нейтронографические данные вместе с концентрационной зависимостью электросопротивления позволяют предположить упорядоченное расположение атомов углерода и кислорода в октаэдрических междуузлиях г.п.к. упаковки титановых атомов.

Для гипотетического бездефектного оксикарбива,  $\text{TiC}_{0,44}\text{O}_{0,57}$  с 4 атомами титана, 2 атомами углерода и 2 атомами

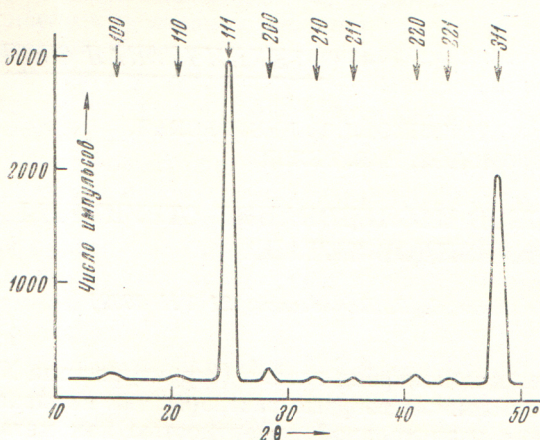
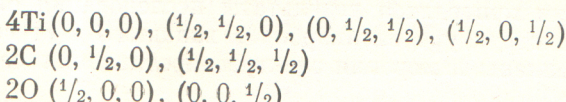


Рис. 2. Нейтронограмма оксикарбида  $\text{TiC}_{0,44}\text{O}_{0,57}$

кислорода в элементарной ячейке можно предложить следующую модель упорядоченного твердого раствора с расположением атомов:



Все другие способы распределения атомов приводят либо к кубической решётке с удвоенным параметром, либо к понижению сингонии. В случае же отклонения от эквивалентного состава картина должна осложниться еще наличием вакансий в обеих подрешетках. Можно предположить два предельных способа расположения атомов неметаллов в рамках предложенной выше модели:

1) Атомы избыточного компонента (С или О) комплектно занимают собственные позиции и статистически располагаются в вакантных позициях второго неметалла; вакансии статистически расположены в подрешетке недостающего неметалла.

2) Все имеющиеся в неметаллической подрешетке вакансии приходятся на позиции избыточного компонента, а позиции недостающего компонента заполнены собственными атомами и атомами избыточного компонента. Для промежуточных случаев картина еще сложнее.

Поясним это на примере оксикарбида  $\text{TiC}_{0,44}\text{O}_{0,57}$ . Числа атомов компонентов, приходящихся на элементарную ячейку ( $n_{\text{Ti}} = 3,73$ ,  $n_{\text{C}} = 1,61$ ,  $n_0 = 2,16$ ), рассчитаны из пикнотрической плотности образца  $\rho = 4,89 \text{ g/cm}^3$ \*.

При первом предположении 0,16 атома кислорода (или 2,1 ат.%) занимают углеродные позиции, а 0,23 углеродных позиций должны оставаться вакантными, при втором 0,39 (или 5,2 ат.%) углеродных позиций заселены атомами кислорода, а 0,23 кислородных позиций остаются вакантными.

\* Числа атомов в ячейке  $\text{TiC}_x\text{O}_y$  рассчитаны по формулам  $n_{\Sigma} = \rho V N / M$  и  $n_{\text{Ti}} = n_{\Sigma}$ ,  $n_{\text{C}} = x n_{\Sigma}$ ,  $n_0 = y n_{\Sigma}$ , где  $n_{\Sigma}$  — число формульных единиц  $\text{TiC}_x\text{O}_y$ ,  $\rho$  — пикнотрическая плотность,  $V$  — объём элементарной ячейки,  $N$  — число Авогадро.

В случае упорядочения структурная амплитуда оксикарбида  $TiC_{0,44}O_{0,57}$  имеет вид

$$F_{hkl} = c_{Ti}b_{Ti}[1 + \cos \pi(h+k) + \cos \pi(k+l) + \cos \pi(h+l)] + \\ + (c_C b_C + c_O b_O)[\cos \pi(h+k+l) + \cos \pi k] + c_O'' b_O[\cos \pi h + \cos \pi l],$$

где  $b_{Ti} = -0,34 \cdot 10^{-12}$  см,  $b_C = 0,66 \cdot 10^{-12}$  см,  $b_O = 0,58 \cdot 10^{-12}$  см — амплитуды рассеяния нейтронов на ядрах Ti, C и O соответственно (5);  $c_{Ti} = 0,497$  и  $c_C = 0,214$  — концентрации атомов Ti и C соответственно;  $c_O' + c_O'' = 0,289$  — концентрация атомов кислорода в углеродных ( $c_O'$ ) и собственных ( $c_O''$ ) позициях.

Расчет значений интенсивностей рефлексов производился для нескольких величин  $0,021 \leqslant c_O' \leqslant 0,052$  с учетом неэквивалентности различных плоскостей ( $hkl$ ) при  $hkl$  смешанной четности (6). Наилучшее согласие между экспериментальными и вычисленными значениями интенсивностей получается при  $c_O' = 0,021$ , что соответствует комплектному заполнению кислородом собственных позиций и расположению 0,16 атомов кислорода в позициях атомов углерода (см. табл. 1) \*.

Таблица 1

Сравнение экспериментальных и рассчитанных (в предположении упорядоченного расположения атомов неметаллов) значений межплоскостных расстояний и интенсивностей рефлексов для оксикарбида  $TiC_{0,44}O_{0,5}$

$hkl$	$Q_1$ , град.	$d_{\text{эксп}}$ , Å	$d_{\text{расч}}$ , Å	$I_{\text{эксп}}$ , %	$I_{\text{расч}}$ , %
100	7,00	4,3	4,28	3,3	3,1
110	10,03	3,03	3,03	3,0	2,9
111	12,42	2,47	2,47	100	100
200	14,33	2,14	2,14	3,0	2,0
210	16,08	1,91	1,91	2,0	2,4
211	17,66	1,75	1,747	2,0	1,9
220	20,50	1,51	1,513	3,0	2,0

Таким образом, результаты нейтронографического исследования показывают, что в структуре оксикарбида  $TiC_{0,5}O_{0,5}$  атомы кислорода и углерода расположены упорядоченно в неметаллической подрешетке. При отклонении же состава от эквиатомного атомы избыточного компонента комплектно занимают собственные позиции и статистически — вакантные позиции недостающего компонента.

Институт химии  
Уральского филиала Академии наук СССР  
Свердловск

Поступило  
14 VII 1969

#### ЦИТИРОВАННАЯ ЛИТЕРАТУРА

- <sup>1</sup> Е. Н. Щетников, П. В. Гельд и др., Изв. АН СССР, Неорг. материалы, 2, 91 (1966). <sup>2</sup> Л. Х. Пивоваров, Е. Я. Брежеши и др., ЖНХ, 12, 1743 (1967). <sup>3</sup> В. И. Оделевский, ЖТФ, 25, 667 (1956). <sup>4</sup> М. А. Кривоглаз, А. А. Смирнов, Теория упорядочивающихся сплавов, М., 1958. <sup>5</sup> И. И. Гуревич, Л. В. Тарасов, Физика нейтронов низких энергий, «Наука», 1965. <sup>6</sup> А. И. Китайгородский, Рентгеноструктурный анализ мелкокристаллических и аморфных тел, М.—Л., 1952, стр. 119.

\* В таблице приведены  $I_{\text{расч}}$  только для одного значения концентрации  $c_O' = 0,021$ .